



#### 7.4.1.4 Einstellregeln für PI, PD und PID-Regler

##### Grundgedanke

In vielen Anwendungsgebieten gibt es typische Regelstrecken.

Der Dimensionierungsaufwand für solche typischen Regelstrecken lässt sich durch einfache, zugeschnittene Einstellregeln erheblich reduzieren.

Typisch für viele Regelstrecken sind:

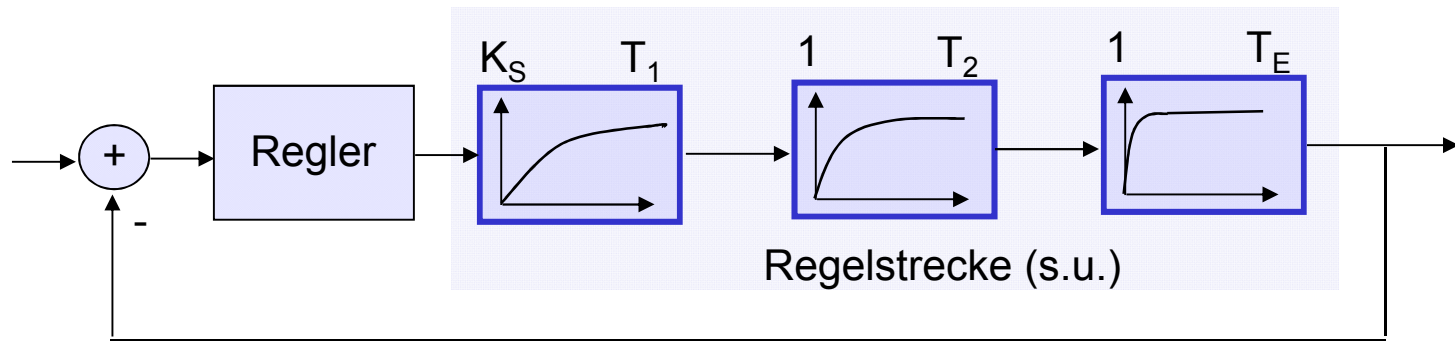
- eine oder mehrere Verzögerungsglieder des Typs  $PT_1$
- integrale Glieder (ohne Ausgleich)
- Totzeitglieder

Auch hier gilt: Grundsätzlich ist zu prüfen, ob die vom Regler erzeugten Stellgrößen realisierbar sind.



## Betragsoptimum (anzuwenden für Ketten von PT1-Strecken)

**Einsatzbereich:** Strecken mit bis zu 2 großen und mehreren kleinen Zeitkonstanten.



$$T_1 > T_2 \gg T_E, \quad T_E = \sum_{i=3}^n T_i$$

- Benötigt werden die Parameter der Regelstrecke.
- Zur Reglerdimensionierung den realen Regelkreis zuvor auf obige Regelkreisstruktur umformen. Dabei alle Mess- und Stellelemente der Regelstrecke zuordnen!

Die Sprungantwort des Regelkreises hat folgende Eigenschaften:

- Überschwingweite  $\ddot{u} = 4.3\%$
- Anregelzeit  $t_{an} = 4.7 T_E$  (Zeit bis zum Erreichen der Sprunghöhe)



Regelstrecke	Typ	Regler
$G_S(s) = \frac{K_S}{sT_1 + 1}$	I	$G_R(s) = \frac{K_I}{s}$ $K_I = \frac{1}{2T_1 K_S}$
$G_S(s) = \frac{K_S}{(sT_1 + 1)(sT_2 + 1)}$ $T_1 > T_2$	PI	$G_R(s) = \frac{K_P(sT_N + 1)}{sT_N}$ $T_N = T_1, \quad K_P = \frac{T_N}{2K_S T_2}$
$G_S(s) = \frac{K_S}{(sT_1 + 1)(sT_E + 1)}$ $T_1 \gg T_E, \quad T_E = \sum_{i=2}^n T_i$	PI	$G_R(s) = \frac{K_P(sT_N + 1)}{sT_N}$ $T_N = T_1, \quad K_P = \frac{T_N}{2K_S T_E}$
$G_S(s) = \frac{K_S}{(sT_1 + 1)(sT_2 + 1)(sT_E + 1)}$ $T_1 > T_2 \gg T_E, \quad T_E = \sum_{i=3}^n T_i$	PID	$G_R(s) = \frac{K_P(sT_N + 1)(sT_V + 1)}{sT_N}$ 1* $T_N = T_1, \quad T_V = T_2, \quad K_P = \frac{T_N}{2K_S T_E}$

1\* : vereinfachte Darstellung ohne Dämpfungsterm

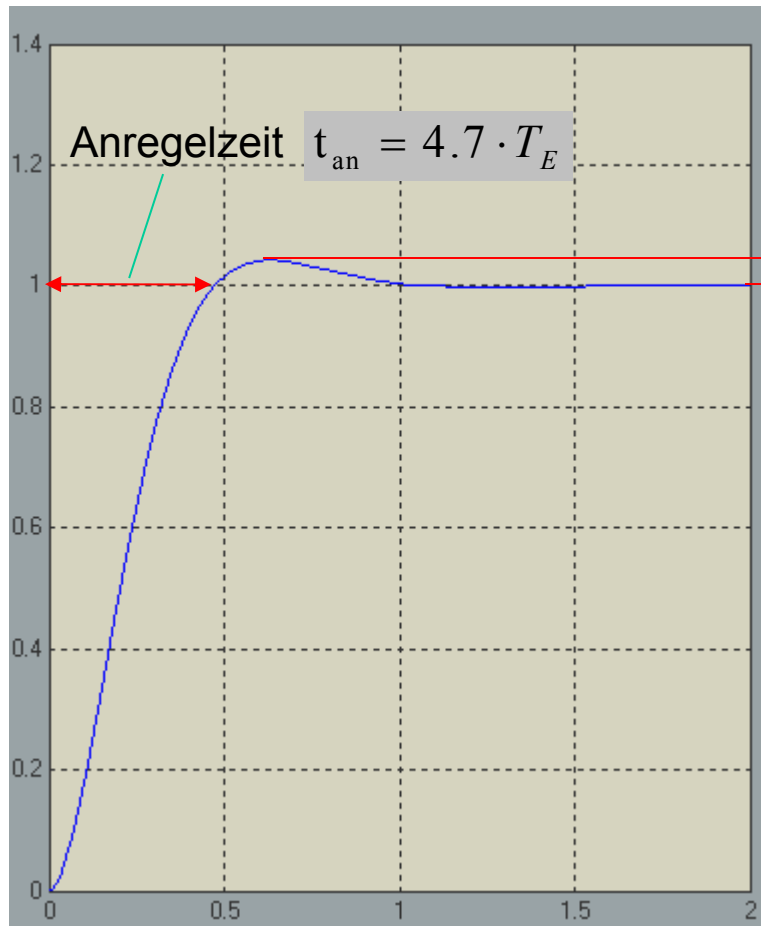
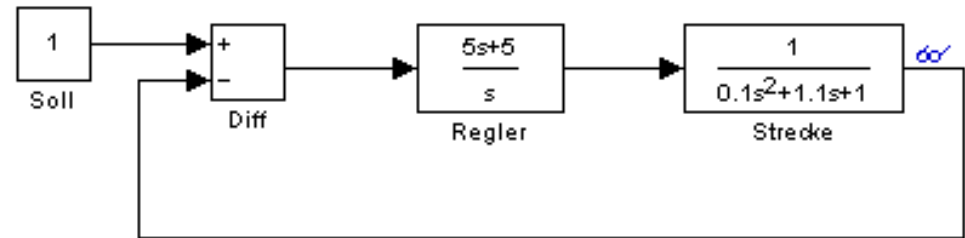


## ÜBUNG: Betragsoptimum 1

Zeigen Sie am Beispiel des folgenden Systems die Wirkungsweise des Verfahrens:

$$G_s(s) = \frac{1}{(s+1)(\frac{1}{10}s+1)}$$

## Ergebnisse der Simulation



$$\ddot{u} = 4.3\%$$

$$G_S(s) = \frac{1}{(s+1)\left(\frac{1}{10}s+1\right)}$$

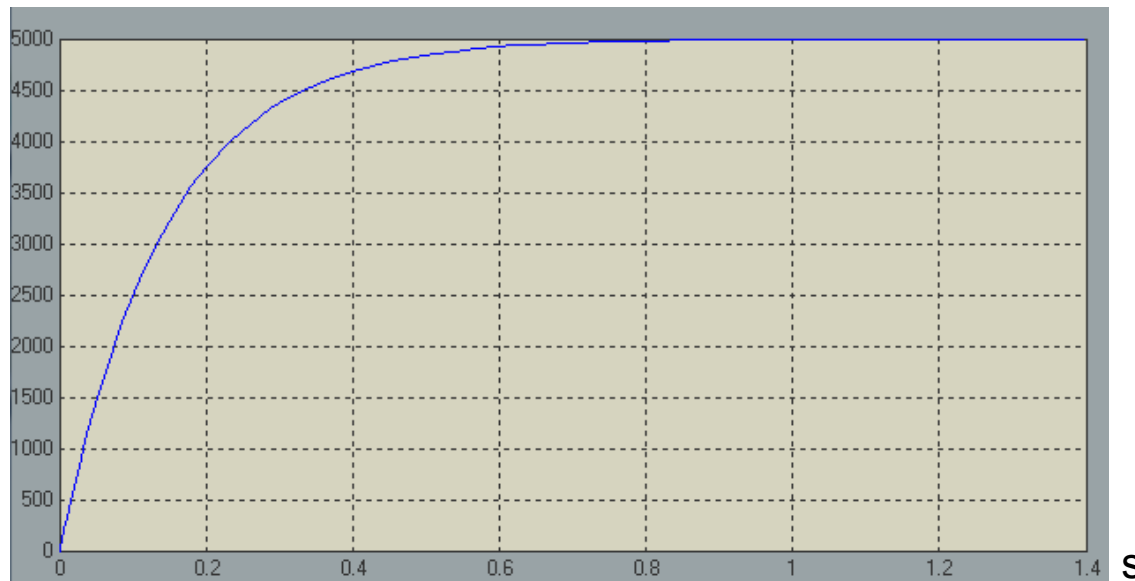
$T_E$

## ÜBUNG: Betragsoptimum 2

Die Drehzahl eines Motors soll geregelt werden:

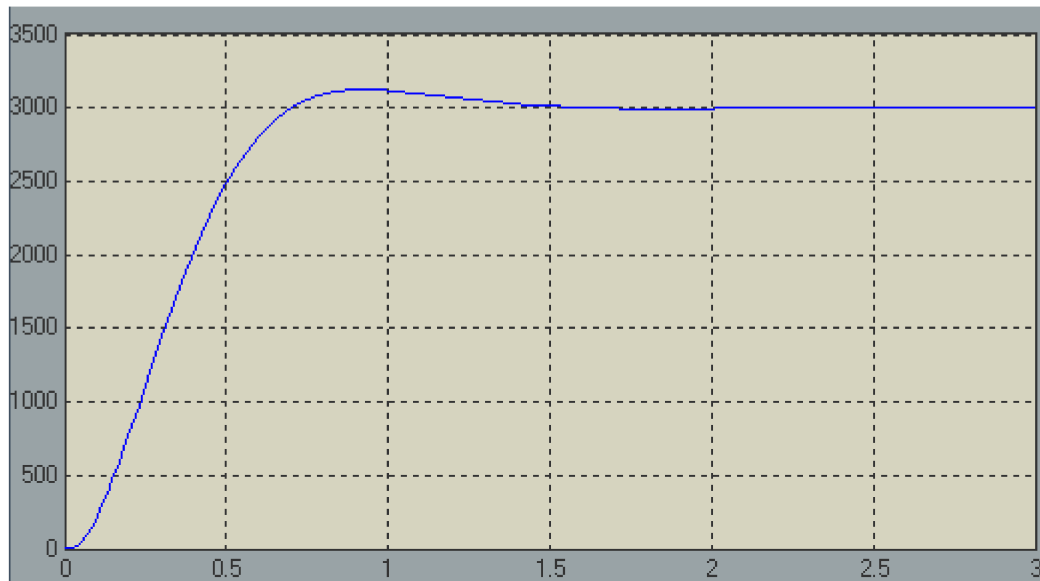
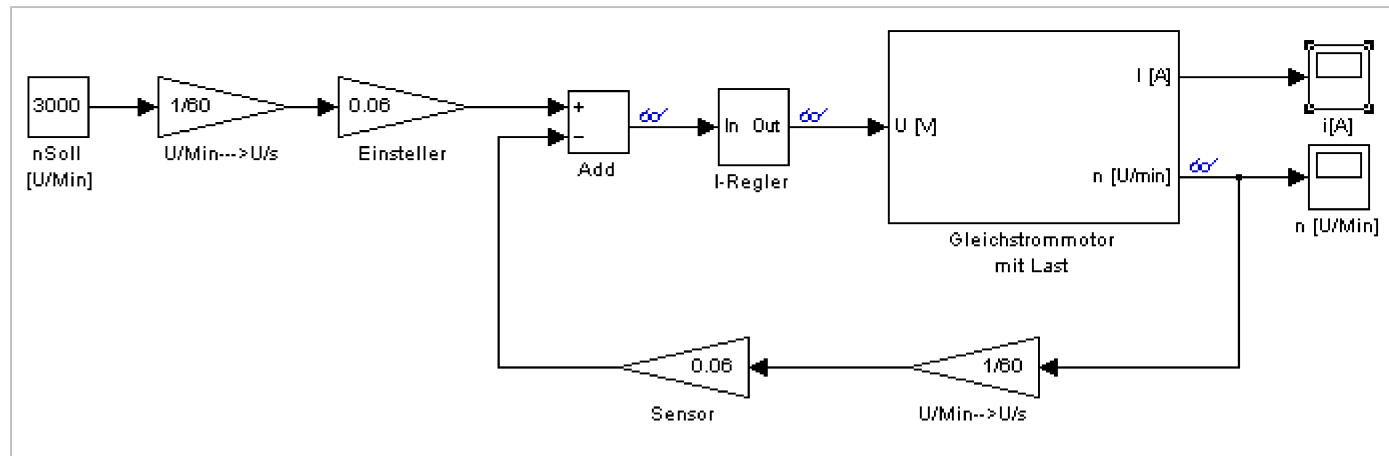
Motor mit PT1-Verhalten :	(s. Bild)
Drehzahlsensor mit P-Verhalten :	1V/1000 U/Min
Sollwerteinsteller mit P-Verhalten :	1V/1000 U/Min

U/Min



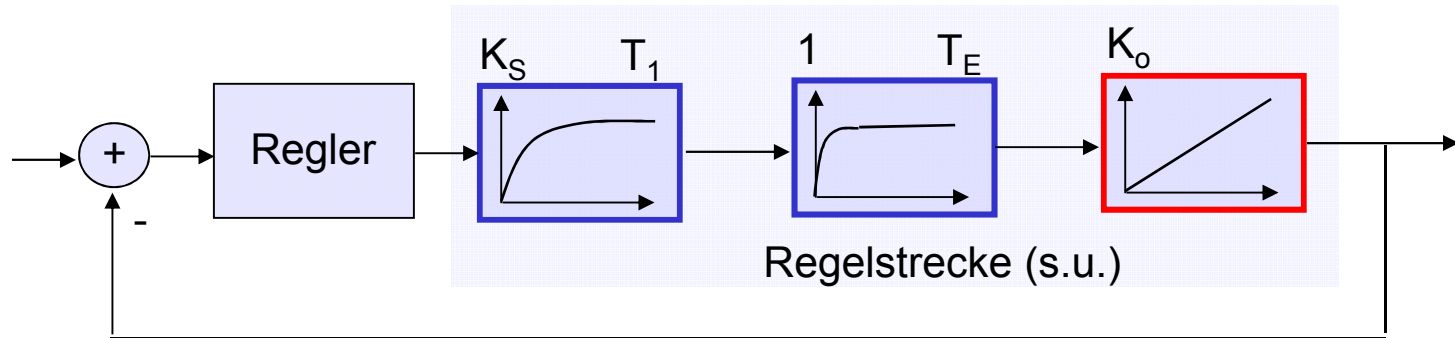
Reaktion des Motors  
auf einen Spannungs-  
sprung von 5.2V

Es ist ein Regler mit Hilfe des Betragsoptimums zu entwerfen.



## Symmetrisches Optimum (für verzögerte (n-PT1) Strecken o. Ausgleich)

**Einsatzbereich:** Regelstrecken mit einer großen und mehreren kleinen Zeitkonstanten sowie einem Integralelement.



$$T_1 \gg T_E, \quad T_E = \sum_{i=2}^n T_i$$

- Benötigt werden die Parameter der Regelstrecke.
- Zur Reglerdimensionierung den realen Regelkreis zuvor auf obige Regelkreisstruktur umformen. Dabei alle Mess- und Stellelemente der Regelstrecke zuordnen!
- typ. Anwendungen: Lenk- und Positionsregelungen, Vorschubantriebe





Regelstrecke	Typ	Regler
$G_S(s) = \frac{K_0 K_S}{s(sT_E + 1)}$ $T_E = \sum_{i=2}^n T_i$	PI	$G_R(s) = \frac{K_P(sT_N + 1)}{sT_N}$
		$T_N = \beta^2 T_E, \quad K_P = \frac{1}{\beta K_S T_E K_0}$
$G_S(s) = \frac{K_0 K_S}{s(sT_1 + 1)(sT_E + 1)}$ $T_1 \gg T_E, \quad T_E = \sum_{i=2}^n T_i$	PID	$G_R(s) = \frac{K_P(sT_N + 1)(sT_V + 1)}{sT_N} \quad 1^*$
		$T_V = T_1, \quad T_N = \beta^2 T_E, \quad K_P = \frac{1}{\beta K_S T_E K_0}$

1\* : vereinfachte Darstellung ohne Dämpfungsterm

$\beta$  vorgebar

$\beta = 2$  schnelleres Anregeln aber mehr Überschwingen

$\beta = 4$  langsames Anregeln aber weniger Überschwingen

Für das Führungsverhalten kann die Einstellung  $T_N \gg \beta^2 T_E$  vorteilhaft sein (abweichend vom symm. Optimum  $\rightarrow$  eher PD-Verhalten).

## ÜBUNG: Reglerentwurf mit dem symm. Optimum

Ein Heißluftballon soll durch Regelung der Wärmezufuhr oder -abfuhr auf konstanter Höhe gehalten werden.



Wärme kann über eine steuerbare Flamme zugeführt und über eine steuerbare Klappe abgeführt werden. Die Höhe wird mit Hilfe eines GPS-Systems gemessen.

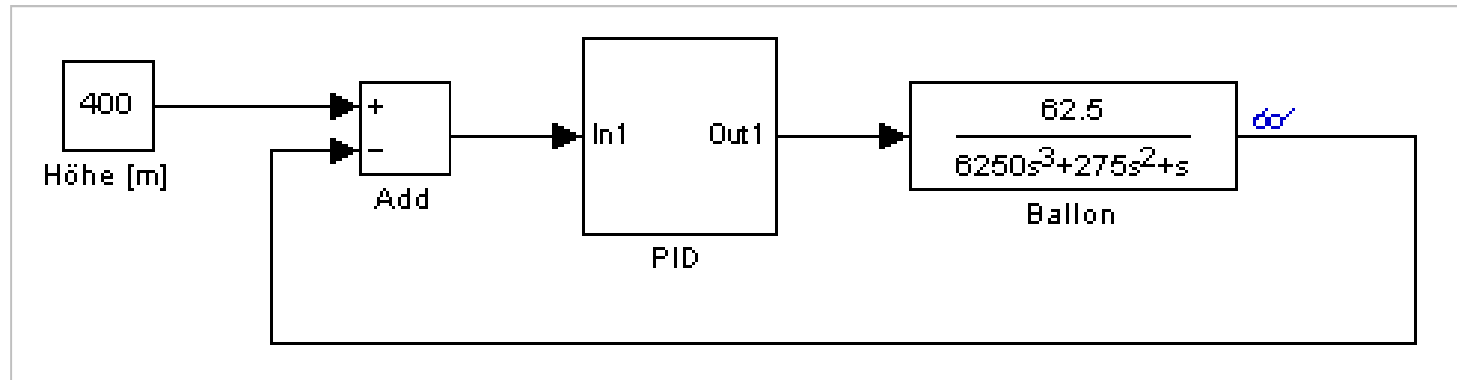
Die lin. und normierten Differentialgleichungen des Ballons lauten:

$$\dot{\mathcal{Q}} + \frac{1}{T_1} \mathcal{Q} = q \quad (1)$$

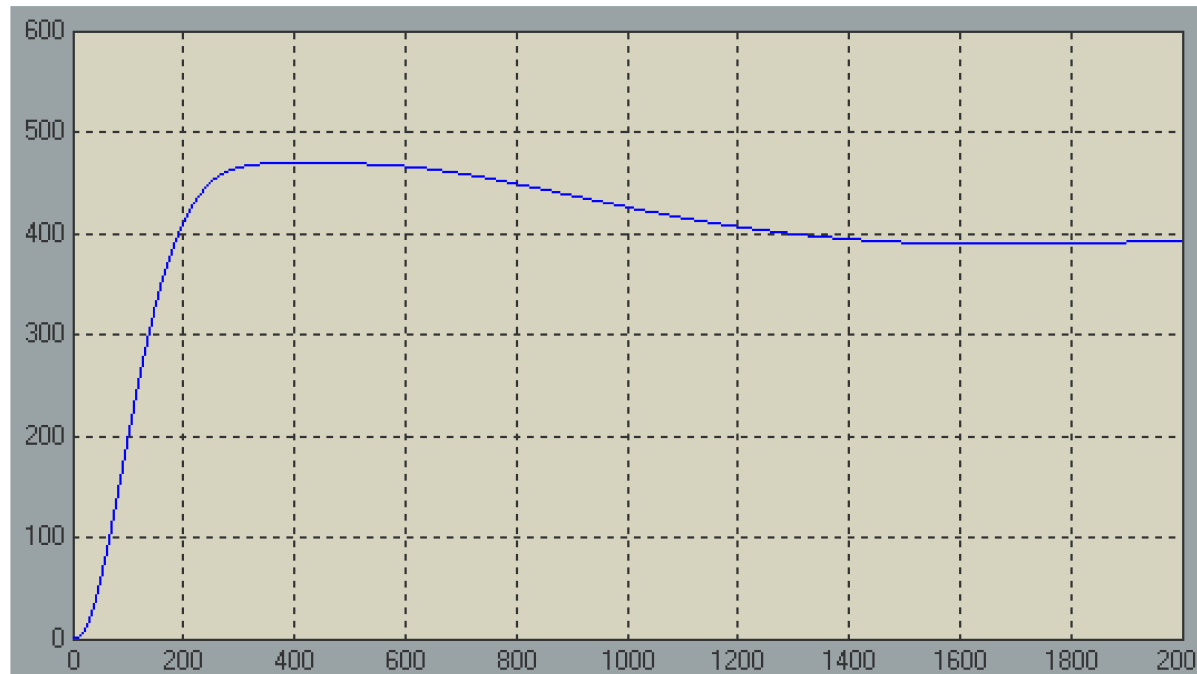
$$T_2 \cdot \ddot{h} + \dot{h} = a \cdot \mathcal{Q} \quad (2)$$

Mit  $\mathcal{Q}$  : Temperatur  $T_1 = 250$   
 $q$  : Wärmezufuhr  $T_2 = 25$   
 $h$  : Höhe  
 $a = 0.3 - 1/\text{Umgebungstemp. (in } ^\circ\text{C)}$

Es ist ein Regler zu entwerfen und zu dimensionieren.



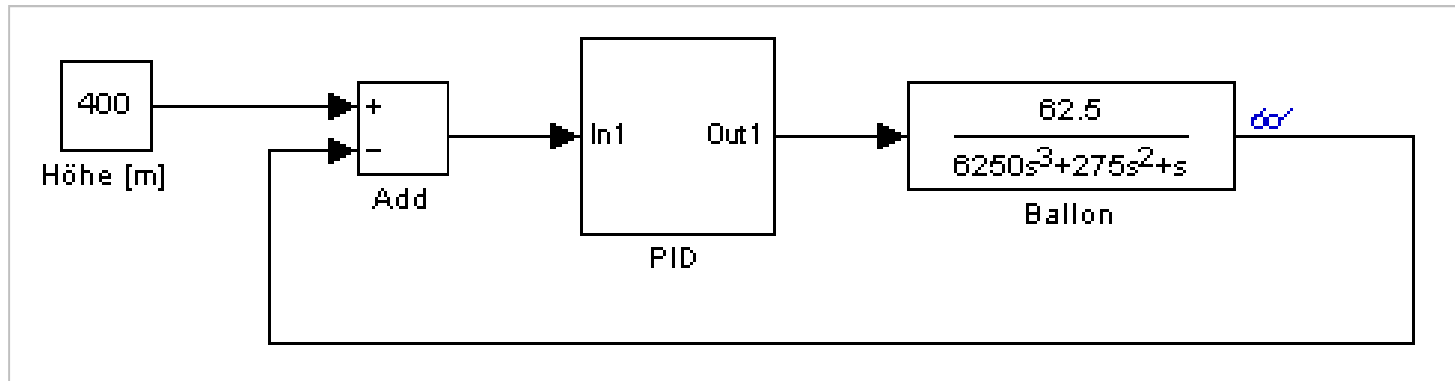
KP	0.00016
TN	400
TV	250
alpha	10



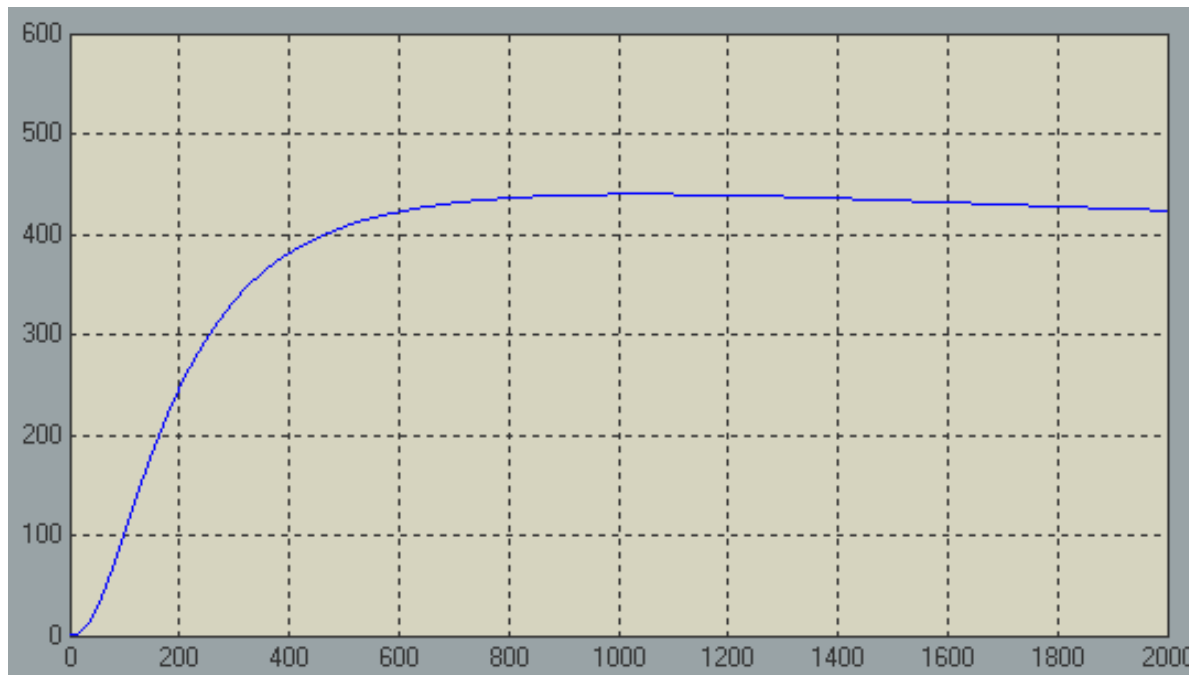
$$\beta = 4$$

### Anmerkung:

$\alpha$  des PID-Reglers hat nichts zu tun mit dem  $\beta$  des symm. Optimums.



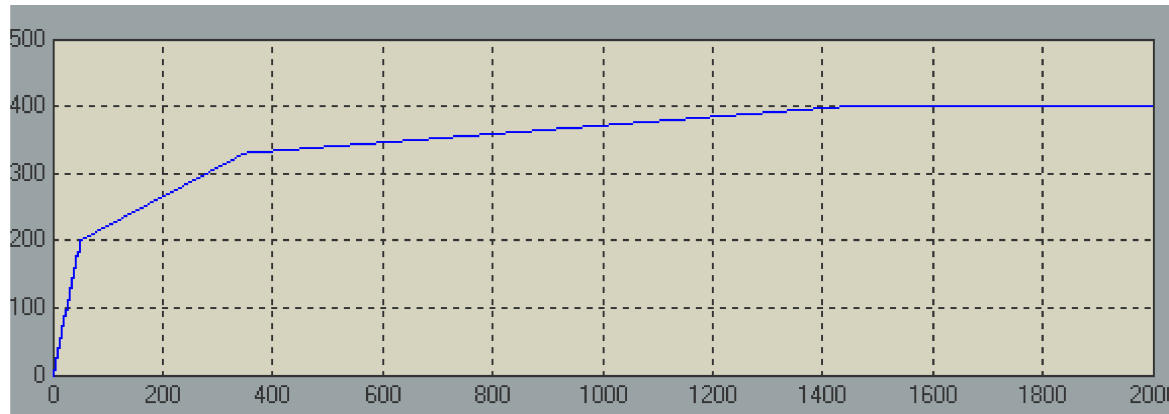
KP	0.00008
TN	1600
TV	250
alpha	10



$$\beta = 8$$

Geringeres  
Überschwingen aber  
langsames Ausregeln.

## .... oder Sollwerttrampe statt Sprung vorgeben



KP

0.00016

TN

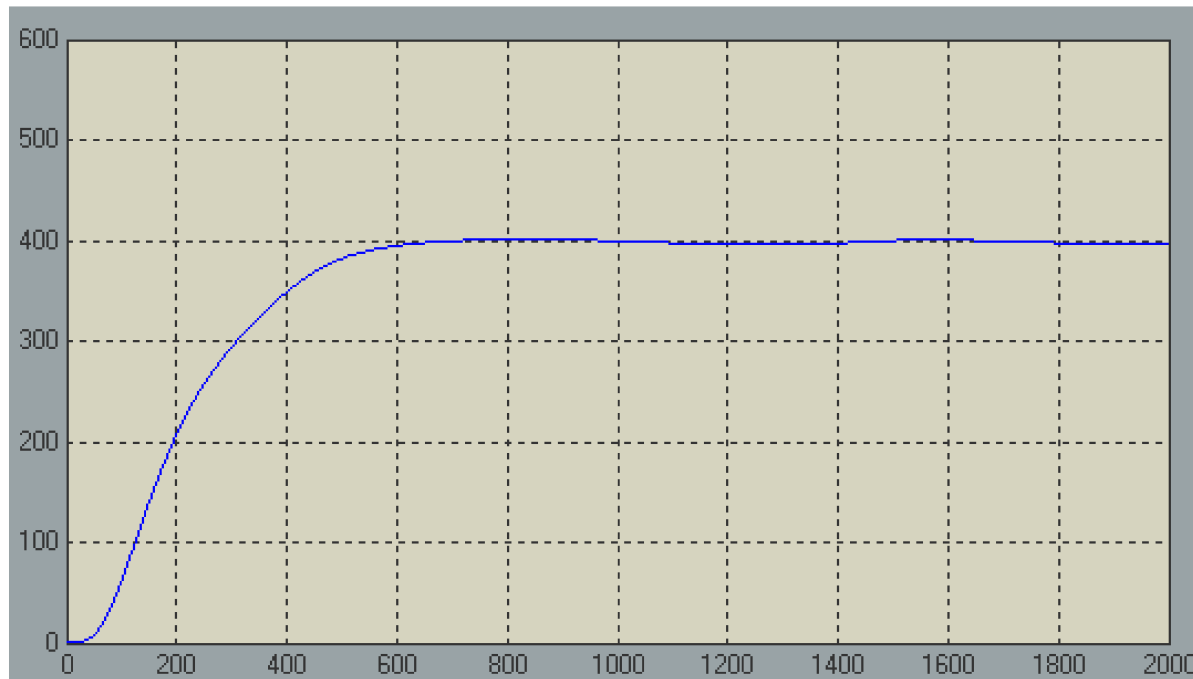
400

TV

250

alpha

10

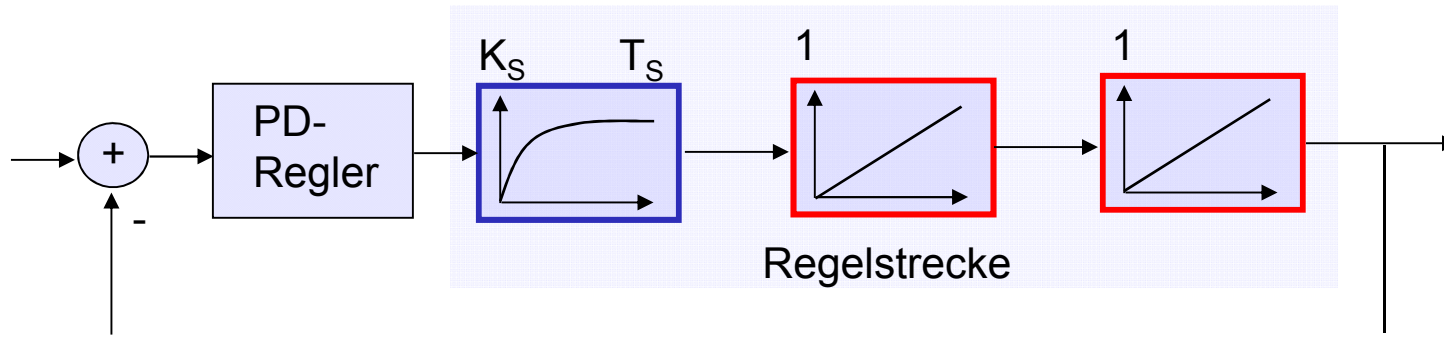


$$\beta = 4$$



## Einstellregel für doppelt integrierende Systeme (PT1-verzögert)

**Einsatzbereich:** Regelstrecken mit bis zu einer dominanten Zeitkonstanten sowie zwei Integralelementen.



$$G_{PD}(s) = K_R \cdot \frac{sT_V + 1}{sT_1 + 1} = K_R \cdot \frac{sT_V + 1}{s \frac{T_V}{\alpha} + 1}$$

$$K_R = \frac{\sqrt{\alpha}}{K_S \cdot T_V^2}$$

$$T_V \geq 10 \cdot T_S \cdot \sqrt{\alpha}$$

$\alpha$	Überschw. bei Sprung
5	45%
10	30%
20	20%

### Eigenschaften:

- abhängig von  $\alpha$  mehr oder weniger hohes Überschwingen (s. Tab.)
- sehr hohes  $\alpha$  hat evtl. unrealisierbare Stellgrößen zur Folge

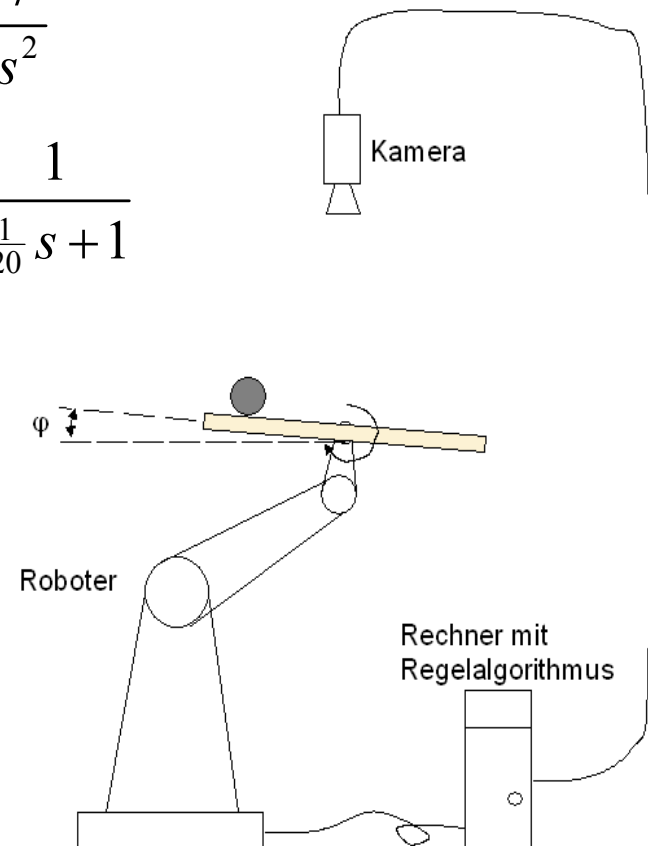
## Fortsetzung der Übung: „Balancieren eines Balls“

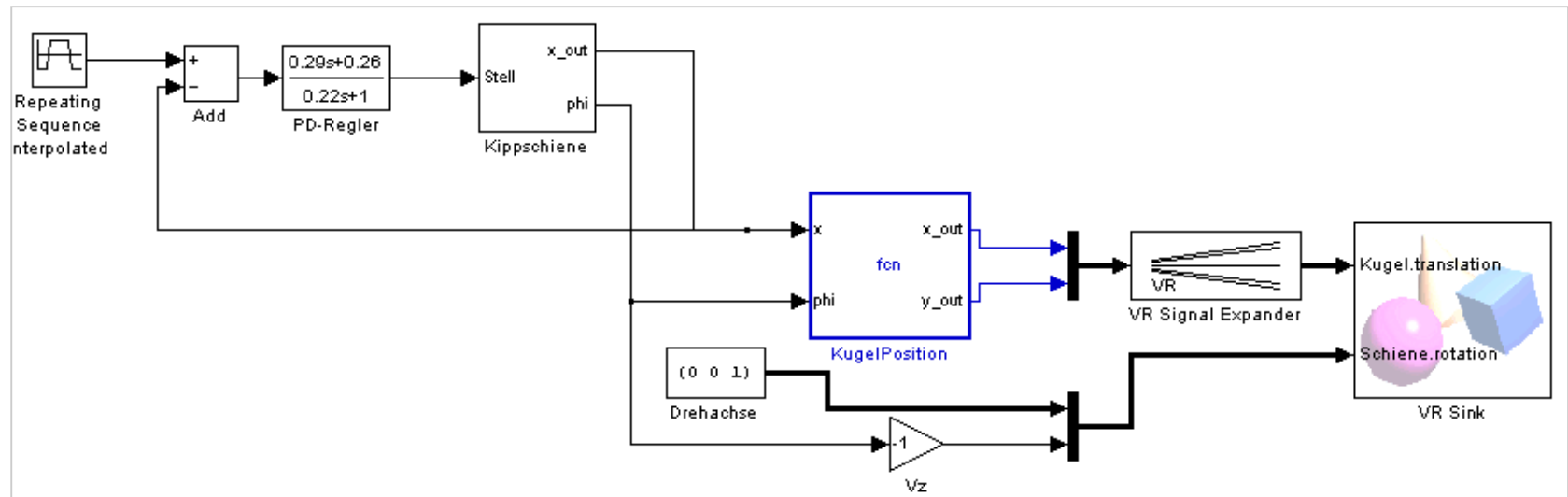
Ein Roboter soll einen Ball balancieren, der in einer Schiene rollt. Die Position des Balls wird mit einer Kamera erfasst.

Die ÜF der Bewegung lautet:  $G_2(s) = \frac{X(s)}{\Phi(s)} = \frac{7}{s^2}$

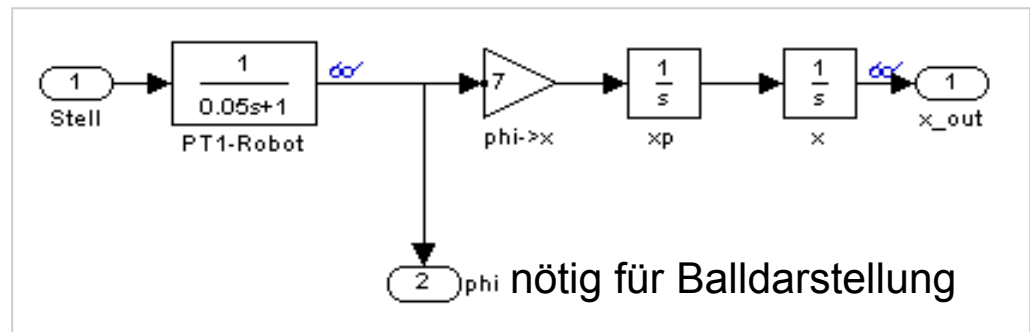
Die ÜF des Roboters ist:  $G_1(s) = \frac{\Phi(s)}{U(s)} = \frac{1}{\frac{1}{20}s + 1}$

- a) Dimensionieren Sie den PD-Regler.
- b) Simulieren Sie das System





### Teilmodell: Kippschiene

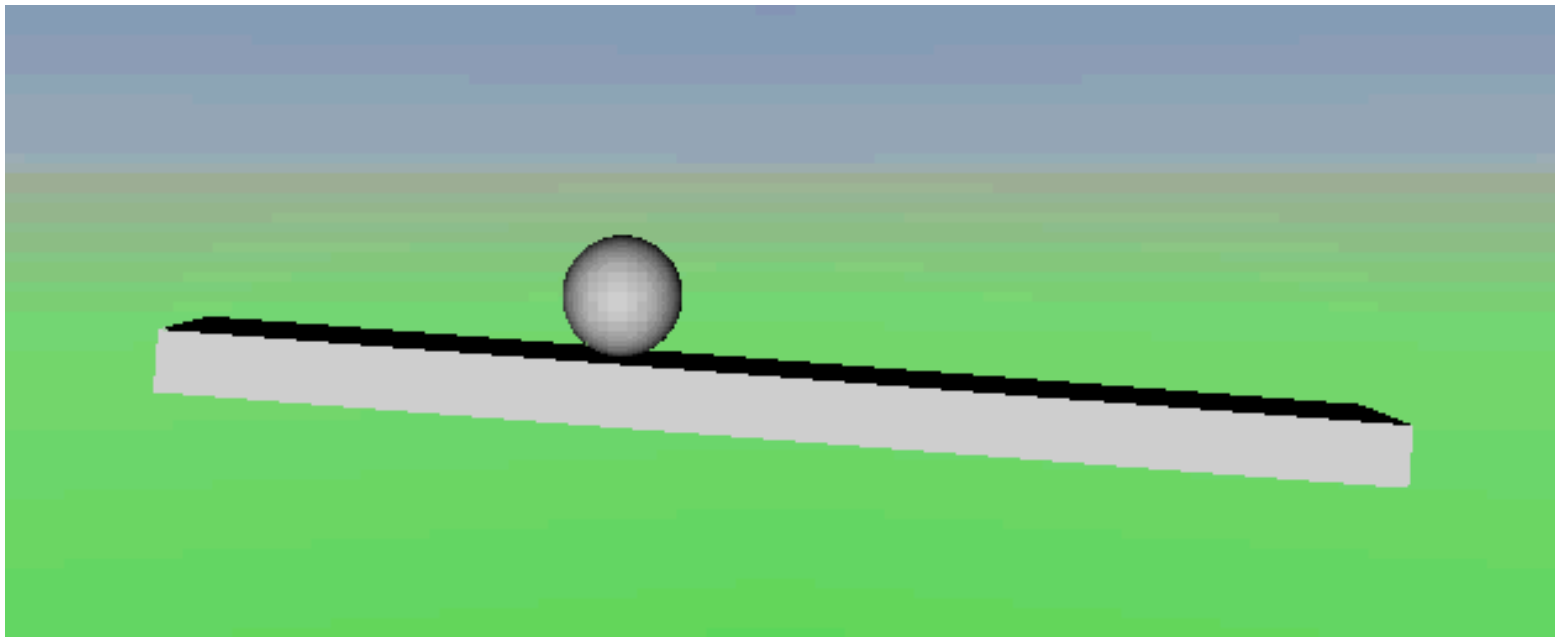


Berechnung der Ballposition  
für die Grafikausgabe.

```
function [x_out,y_out] = fcn(x, phi)

x_out = x*cos(-phi);
y_out = x*sin(-phi)+0.06;
```





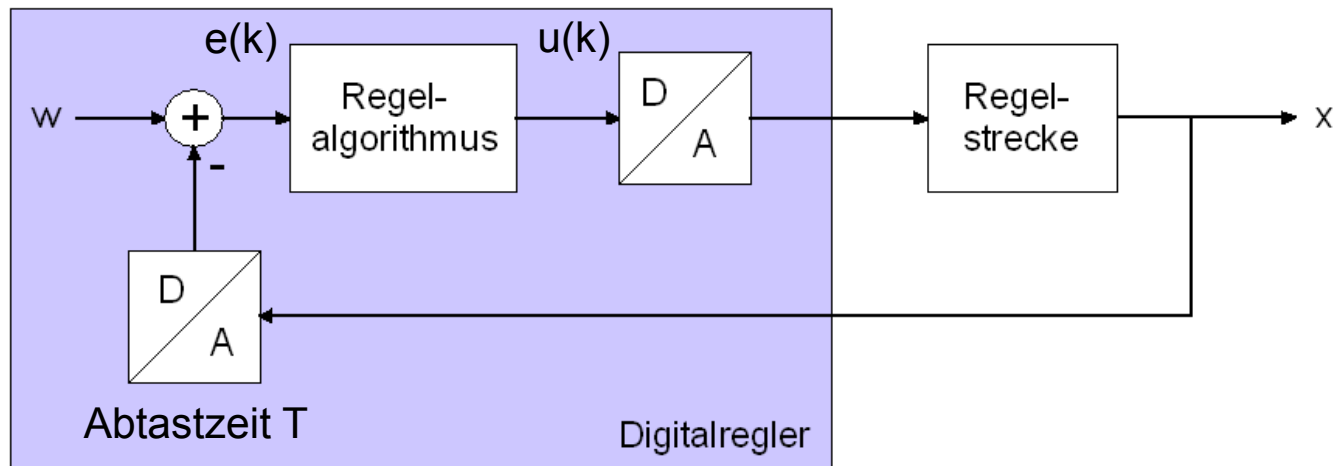
## Regelung mit PD-Regler

### 7.4.1.5 Quasikontinuierliche digitale Regelungen

#### A/D- und D/A-Wandlung

**Ziel:** Digitale Realisierung des Reglers.

**Weg:** a) Digitalisierung der Regelgrößen  
b) Analogisierung der berechneten Stellgröße





## Quasikontinuierliche Regelung

**Ziel:** Die analogen Dimensionierungsverfahren für Regler sollen auch für digitale Regler angewendet werden.

**Voraussetzung:** Die Abtastzeit  $T$  der AD/DA-Wandlung muss so klein sein, dass der Einfluss der Zeitdiskretisierung vernachlässigbar ist.

Faustformel :  $T < 10\%$  der bestimmenden Zeitkonstanten  
des geschlossenen Regelkreises.

in anderen Worten: Die Abtastzeit muss so klein sein, dass sich das abgetastete Signal zwischen zwei Abtastschritten nur unwesentlich ändert.



## Quasikont. Realisierung des PID-Reglers

**Idee:** Ersetzen von Integration und Differentiation durch Summation und Differenzenquotient.

Differentiation: 
$$\left. \frac{de(t)}{dt} \right|_{t=kT} \approx \frac{e(k) - e(k-1)}{T}$$

Integration: 
$$\int_0^{kT} e(\tau) d\tau \approx T \cdot \sum_{i=0}^{k-1} e(i)$$

mit  $T$  = Abtastzeit



Damit wird aus dem idealen PID-Regler (Standardform)

$$u(t) = K_P \cdot \left[ e(t) + \frac{1}{T_N} \int_0^t e(\tau) d\tau + T_V \frac{de(t)}{dt} \right]$$

der quasikontinuierliche PID-Regler (mit T = Abtastzeit)

$$u(k) = K_P \cdot \left[ e(k) + \frac{T}{T_N} \sum_{i=0}^{k-1} e(i) + \frac{T_V}{T} [e(k) - e(k-1)] \right]$$

Rekursive Formulierung des quasikontinuierlichen PID-Reglers (s.u.):

$$u(k) = u(k-1) + q_0 \cdot e(k) + q_1 \cdot e(k-1) + q_2 \cdot e(k-2)$$

$$q_0 = K_P \cdot \left( 1 + \frac{T_V}{T} \right)$$

$$q_1 = -K_P \cdot \left( 1 - \frac{T}{T_N} + 2 \frac{T_V}{T} \right)$$

$$q_2 = K_P \cdot \frac{T_V}{T}$$

**Anm.:** Erhält man durch den Ansatz  $u(k) - u(k-1)$



Störuneempfindlichere PID-Regelalgorithmen sind beschrieben z.B. in:

- *Otto Föllinger, Regelungstechnik, Hüthig Verlag*
- *Lutz/Wendt, Taschenbuch der Regelungstechnik, Verlag Harry Deutsch*